

نانومیله‌های نانوبرگ‌دار شده دی‌اکسید تیتانیم دوفازی به منظور استفاده در کاربردهای فتوالکتروشیمیایی

شروین دانشور اصل* و سید خطیب‌الاسلام صدرنژاد
دانشکده مهندسی و علم مواد، دانشگاه صنعتی شریف، تهران

(دریافت مقاله: ۱۳۹۶/۰۹/۲۱ – دریافت نسخه نهایی: ۱۳۹۷/۰۲/۰۲)

چکیده- پژوهش نانومیله‌های روتایل بهروش هیدروترمال سنتز و سپس نانوبرگ‌های آناتاز روی آنها به‌شیوه محلولی رشد داده شدند. تصاویر میکروسکوپ الکترونی رویشی لایه نازک مشکل از نانومیله‌ها نشان دادند که این لایه یکنواخت و عاری از ترک بوده و نانومیله‌ها دارای قطر متوسط ۹۰ نانومتر و ارتفاع ۲ میکرومتر هستند و به‌واسطه پیش جوانه‌گذاری دی‌اکسید تیتانیم روی زیرلایه که زبری سطحی آن را کم کرده است، دارای چگالی مطلوب و جهت‌گیری عمودی نسبت به زیرلایه هستند. تصویر لایه نازک نهایی نشان داد که نانوبرگ‌ها به‌صورت یکنواخت روی نانومیله‌ها رشد کرده‌اند و مساحت سطح ویژه و زبری آنها را به‌طور قابل ملاحظه‌ای افزایش داده‌اند. آنالیز عصری، امکان دوب شدن یون‌های کلر و فلورور در لایه نازک دی‌اکسید تیتانیم را نشان داد. طیف‌های رaman و پراش پرتوی ایکس لایه‌های نازک، ساختار دوفازی پژوهش را تأیید کردند. آزمون پرسنجی پرتوی ایکس، رشد بلوری ناهمسانگرد نانومیله‌ها (عمود بر سطح زیرلایه) را نیز تأیید کرد. طیف‌سنجهای بازتاب و عبور پخشی نور نشان دادند که مقدار انرژی فاصله نواری برای لایه‌های نازک مشکل از نانومیله‌ها و نانومیله‌های نانوبرگ‌دار شده دی‌اکسید تیتانیم به ترتیب ۲/۷۸ و ۲/۸۲ کلترون‌ولت است و میزان به دام‌اندازی نور در پژوهش نهایی بیشتر است. نانوساختار سنتز شده به‌دلایل دارا بودن مشخصه‌های برجسته‌ای از جمله جدایش و انتقال بهبود یافته حامل‌های بار (به‌علت وجود ساختار دوفازی)، مساحت سطح ویژه و میزان به دام‌اندازی نور زیاد (به‌علت وجود نانوبرگ‌ها) و انرژی فاصله نواری کم (به‌علت دوب شدن یون‌های غیر فلزی در ساختار) یک ماده مناسب برای جایگزینی با نانومیله‌های دی‌اکسید تیتانیم متداول مورد استفاده در کاربردهای فتوالکتروشیمیایی است.

واژه‌های کلیدی: دی‌اکسید تیتانیم دوفازی، روتایل/آناتاز، نانومیله‌های نانوبرگ‌دار شده، هیدروترمال/شیمی محلولی، عملکرد فتوالکتروشیمیایی.

Two-Phase Rutile/Anatase TiO₂ Nanoleafed Nanorod Arrays for Photoelectrochemical Applications

S. Daneshvar e Asl* and S. K. Sadrnezhaad

Department of Materials Science and Engineering, Sharif University of Technology, Tehran, Iran.

Abstract: *Rutile-phase titanium dioxide nanorod arrays were prepared by the hydrothermal method. Then, anatase-phase nanoleaves were successfully synthesized on the nanorod arrays via mild aqueous chemistry. Nanorod arrays scanning electron microscopy revealed that the thin film is uniform and crack free and the average diameter and height of the nanorods are 90 nm and 2 μm , respectively. Furthermore, nanorods are vertical to the substrate surface and have desired coverage density due*

*: مسئول مکاتبات، پست الکترونیکی: sh_daneshvarasl@yahoo.com

to the predeposition of TiO₂ seed layer which leaded to decrease the surface roughness of the substrate. Nanoleafed nanorods scanning electron microscopy indicated that the nanoleaves were grown uniformly on the entire surface of nanorods and the specific surface area and roughness factor of those are significantly improved. Energy dispersive spectrums suggested that F- and Cl- ions are partially doped into TiO₂ crystals. Raman and X-ray spectra confirmed the formation of anatase-phase nanoleaves on the rutile-phase nanorods. X-ray diffraction also indicated that the nanorod arrays are highly oriented with respect to the substrate surface. The diffused reflectance/transmittance data revealed the incident light was more efficiently harvested by the nanoleafed nanorod thin film and the values of energy gap are 2.78 and 2.82 eV for rutile TiO₂ nanorod and rutile+anatase TiO₂ nanoleafed nanorod thin films, respectively. Synthesized nanostructure, having improved charge separation and transfer (due to the presence of the surface anatase/rutile junctions), high specific surface area and light harvesting (due to the presence of the nanoleaves) and low band gap energy (due to the nonmetallic elements doping), is viable alternative to traditional single crystalline TiO₂ nanorods for highly efficient photoelectrochemical applications.

Keywords: Two-phase TiO₂, Rutile/Anatase, Nanoleafed nanorod arrays, Hydrothermal/Mild aqueous chemistry, Photoelectrochemical performance.

فهرست علایم

ثابت (بدون واحد)	m	ثابت غیر وابسته به انرژی فوتون	A*
میزان عبور نور (درصد)	T	ضخامت پوشش (سانتی متر)	d
ضریب جذب نور (بر سانتی متر)	α	انرژی فاصله نواری (الکترون ولت)	E _g
فرکانس (بر ثانیه)	v	ثابت پلانک ($10^{-15} \times 4/135$ الکترون ولت ثانیه)	h

سال‌های اخیر، نانوساختارهای جدید از دی‌اکسید تیتانیم به روش-های گوناگون سنتز و مورد ارزیابی قرار گرفته‌اند. نانورقه^۱ [۲۲-۲۴]، نانوپیواره^۲ [۲۳]، نانومیله^۳ و نانوکره^۴ [۲۴]، نانولوله^۵ [۲۵-۲۶]، نانوذره^۶ [۲۷] و نانودرخت^۷ [۲۸] های دی‌اکسید تیتانیم مثال‌هایی از این نانوساختارها هستند.

در این پژوهش، لایه نازک متشکل از نانومیله‌های نانوبرگدار شده دی‌اکسید تیتانیم دارای اتصالات سطحی روتایل/آناتاز در فصل مشترک نانومیله‌ها و نانوبرگ‌ها، با موقفيت سنتز و مشخصه‌ها و خواص ساختاری و نوری آن ارزیابی و بحث شده است. این پژوهش، یک ماده مناسب برای جایگزینی با نانومیله‌های دی‌اکسید تیتانیم متدالو مورد استفاده در سلول‌های خورشیدی، حسگرها و فتوکاتالیست‌ها معرفی می‌کند.

۲- مواد و روش تحقیق

۲-۱- مواد مصرفی

زیرلايه اکسید قلع دوب شده با فلوئور^۸ (FTO) از شرکت

دی‌اکسید تیتانیم به دلیل دارا بودن برتری‌هایی از جمله موقعیت مناسب لبه‌های باند نواری، جذب مطلوب نور، فعالیت فتوکاتالیستی زیاد، پتانسیل اکسایش-کاهش بالا، مقاومت به خوردگی نوری، پایداری شیمیایی / حرارتی، زیست سازگار بودن و قیمت کم توجه زیادی را در ساخت دستگاه‌های نوین به خود جلب کرده است [۱-۵]. دی‌اکسید تیتانیم مشخصه‌های مورد نیاز جهت به کارگیری در سلول‌های خورشیدی، حسگرها مولکولی، حسگرها گاز، فتوکاتالیست‌ها، کاتالیست‌ها و باتری‌های لیتیمی را راشه می‌دهد [۶-۱۷].

مورفولوژی دی‌اکسید تیتانیم به طور مستقیم روی مساحت سطح ویژه، صفحه‌های بلوری سطحی، مشخصه‌های جذب مولکولی، تحرک الکترون و غیره اثر می‌گذارد [۱۸-۲۱]. این پارامترها، عوامل تأثیرگذار روی بازدهی تبدیل فتوانرژی، حساسیت حسگرها و شدت لومینسانس دستگاه‌های نوری و مواد فتوکاتالیست هستند. بنابراین، ارتقای میکرو/نانوساختارهای دی‌اکسید تیتانیم برای کاربردهای متنوع، ضروری است. در

دی یونیزه شسته و در دمای 80°C درجه سانتی گراد در اتمسفر محیط خشک شد.

برای ایجاد ساختار نانوپرگی روی نانومیله‌ها از روش محلول استفاده شد [۳۱]. بدین منظور، زیرلایه متشکل از نانومیله‌های دی اکسید تیتانیم با زاویه 15° درجه نسبت به راستای قائم به طوری که سمت رسانای آن رو به بالا باشد، در محلول آبی حاوی آمونیوم هگرافلو-روتیتانات ($15\% \text{ mol/L}$) و اسید بوریک ($75\% \text{ mol/L}$) به مدت 40 ساعت در دمای اتاق قرار داده و سپس با آب دی یونیزه شسته و در معرض دمش هوا خشک شد.

برای مطالعه مورفلوژی سطحی زیرلایه FTO با و بدون لایه جوانه از میکروسکوپ پرتویی روبشی ساخت شرکت VEECO در حالت ضربه‌ای و به منظور مطالعه مورفلوژی و ابعاد نانوساختارها و بررسی سطح پوشش‌ها و آنالیز عنصری آنها از میکروسکوپ الکترونی روبشی گسیل میدانی مدل MIRA3TESCAN-XMU استفاده شد. برای تعیین ساختار بلوری پوشش‌ها طیفسنج رامان (Nicolet Almega) دارای لیزر Nd:YLF با طول موج 532 nm و توان تابشی $10\text{ mJ}/\text{pulse}$ و همچنین پراش‌سنجد پرتویی ایکس X'Pert PRO MPD ساخت شرکت PANalytical با تابش $\text{Cu K}\alpha$ ($\lambda = 0.15406\text{ nm}$)، ولتاژ 40 kV و جریان 40 mA به کار برد شدند. به منظور بررسی خواص نوری پوشش‌ها در محدوده نور مرئی- فرابنفش و محاسبه انرژی فاصله نواری آنها از طیفسنج نوری AvaLamp DH-S Avaspec-2048-TEC مدل Avantes Setup استفاده شد.

۳- نتایج و بحث

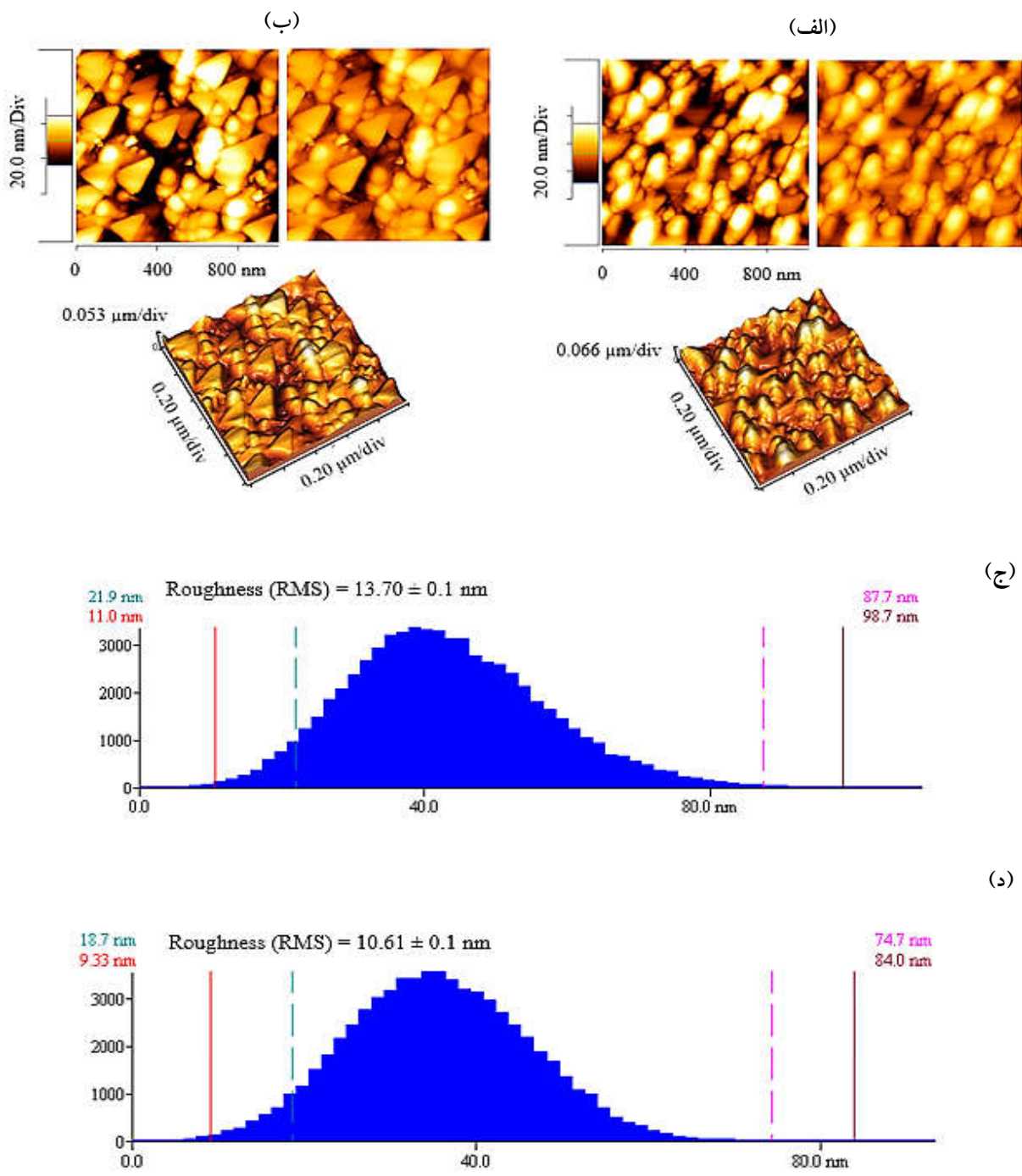
شکل (۱) تصاویر میکروسکوپی پرتویی روبشی و هیستوگرام‌های آنالیز زیری سطح زیرلایه FTO بدون و با لایه جوانه دی اکسید تیتانیم را نشان می‌دهد. همان‌طور که در تصاویر مشخص است، لایه جوانه به‌طور یکنواخت روی سطح FTO

دای‌سل، هگرافلو-روتیتانات و اسید بوریک از شرکت سیگما آلدريچ و سایر مواد اولیه از شرکت مرک خریداری شدند.

۲-۲- روش سنتز

برای دستیابی به آرایه نانومیله‌های دی اکسید تیتانیم دارای چگالی و جهت‌گیری عمودی مطلوب ابتدا یک لایه جوانه دی اکسید تیتانیم روی زیرلایه ایجاد شد [۲۹]. بدین منظور، زیرلایه FTO با ابعاد $25 \times 25\text{ mm}^2$ سانتی‌متر در حمام اولتراسونیک در محلول حاوی آب دی یونیزه، استون و ۲-پروپانول به نسبت حجمی $1:1:1$ به مدت یک ساعت شسته و سپس با آب دی یونیزه شسته و در معرض دمش گاز نیتروژن خشک شد. سپس، این زیرلایه در محلول آبی تیتانیم تراکلرید با غلظت $15\% \text{ mol/L}$ با دمای 70°C درجه سانتی گراد به مدت 30 دقیقه غوطه ور و سپس با آب دی یونیزه شسته (چندین بار تا کلر محتوی کاملاً خارج شود) و در انتهای در کوره با دمای 45°C درجه سانتی گراد به مدت 30 دقیقه (نرخ گرمایش $10^{\circ}\text{C}/\text{min}$ درجه سانتی گراد بر دقیقه و سرمایش هم‌زمان با سرد شدن طبیعی کوره) آنلیل شد.

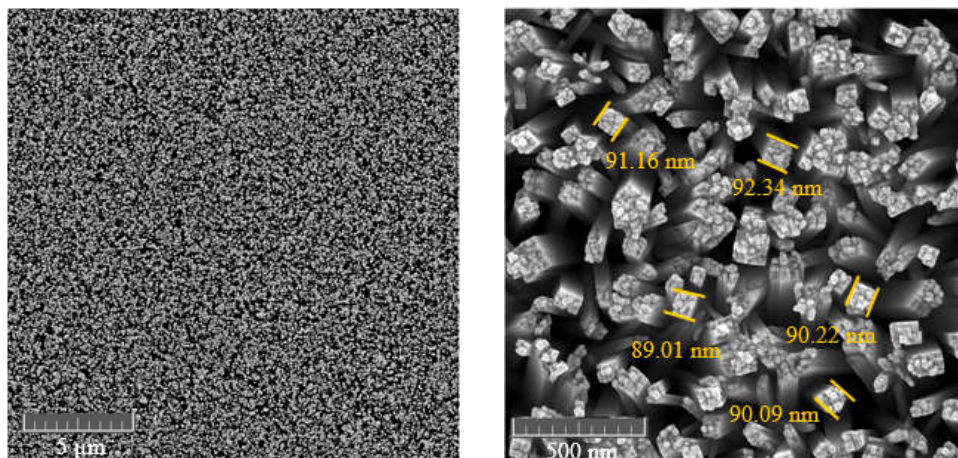
برای رشد نانومیله‌های دی اکسید تیتانیم از روش هیدروترمال استفاده شد [۳۰]. بدین منظور، محلول حاوی 30 mL آب دی یونیزه، 5 mL لیتر محلول آبی اشباع سدیم کلرید و 30 mL لیتر اسید هیدروکلریک ($36-38\text{ wt\%}$ درصد وزنی) در شرایط محیطی به مدت 10 دقیقه هم‌زده و سپس $8/0\text{ mL}$ لیتر تیتانیم بوتوکسید به آن اضافه و دوباره به مدت 5 دقیقه هم‌زده شد. زیرلایه FTO جوانه‌دار شده با یک زاویه نسبت به دیواره به‌طوری که سمت رسانای آن رو به پایین باشد، در اتوکلاو قرار داده و محلول نیز درون اتوکلاو ریخته شد. سنتز هیدروترمال در دمای 150°C درجه سانتی گراد به مدت 15 ساعت در آون انجام گرفت. سپس، اتوکلاو به‌طور طبیعی تا دمای اتاق سرد شد. در انتهای، زیرلایه خارج، چندین بار با آب



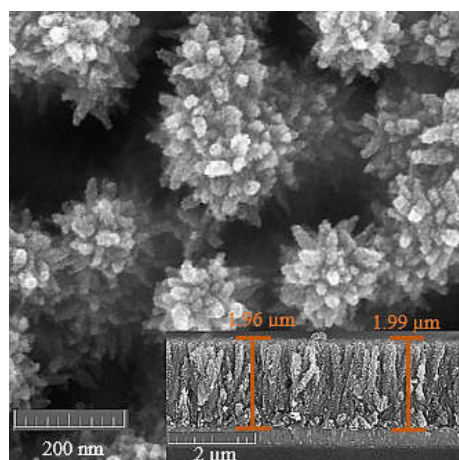
شکل ۱- تصاویر میکروسکوپی پروبی روپوشی زیرلایه FTO : (الف) بدون و (ب) با لایه جوانه دی اکسید تیتانیم و هیستوگرام‌های آنالیز زبری سطح آن (ج) بدون و (د) با لایه جوانه

چگالی آنها نیز زیاد باشد [۲۹ و ۳۰]. شکل (۲) تصاویر میکروسکوپی الکترونی روپوشی گسیل میدانی پوشش متشکل از نانومیله‌های دی اکسید تیتانیم را در بزرگنمایی‌های گوناگون نشان می‌دهد. تصاویر در

رسوب کرده و منجر به تغییر قابل ملاحظه مورفولوژی سطح آن شده به طوری که اندازه دانه‌ها زیاد و زبری سطح کم شده است. این ویژگی‌های FTO جوانهدار شده باعث می‌شود تا در مرحله بعد نانومیله‌ها به صورت عمود بر سطح زیرلایه رشد کنند و



شکل ۲- تصاویر میکروسکوپی الکترونی روبشی گسیل میدانی پوشش مشکل از نانومیله‌های دی‌اکسید تیتانیم در دو بزرگنمایی مختلف

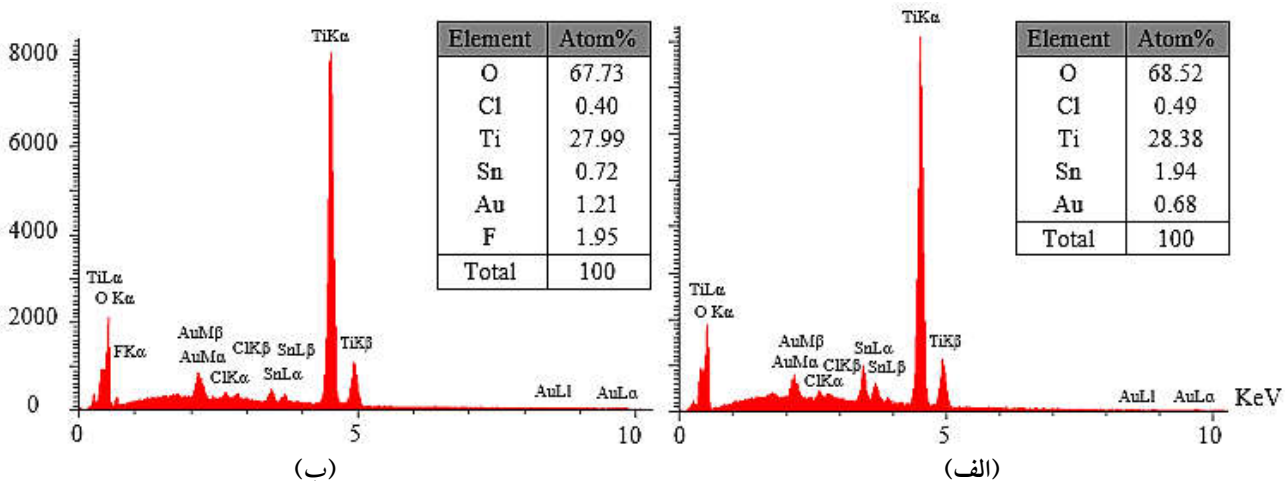


شکل ۳- تصویر میکروسکوپی الکترونی روبشی گسیل میدانی از سطح و سطح مقطع پوشش مشکل از نانومیله‌های نانوبرگ‌دار شده دی‌اکسید تیتانیم

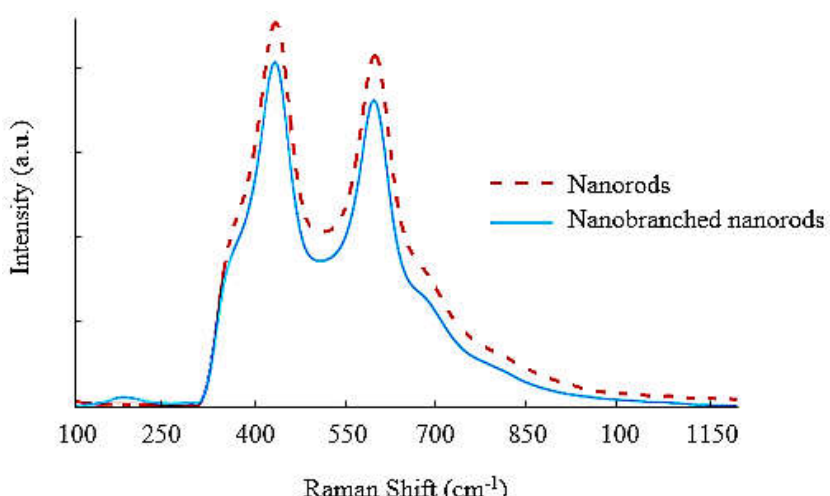
پله‌ها افروده و رشد ادامه پیدا می‌کند.

شکل (۳) تصویر میکروسکوپی الکترونی روبشی گسیل میدانی از سطح پوشش مشکل از نانومیله‌های نانوبرگ‌دار شده دی‌اکسید تیتانیم و سطح مقطع آن را نشان می‌دهد. همان‌طور که در تصویر مشاهده می‌شود، نانوبرگ‌ها به‌طور یکنواخت روی سطوح نانومیله‌ها رشد کرده‌اند. بدین‌ترتیب، مساحت سطح ویژه و زبری نانومیله‌های دی‌اکسید تیتانیم به‌طور قابل ملاحظه‌ای ارتقا پیدا کرده است. این مزیتی مهم در راستای بهبود فعالیت فتوالکتروشیمیایی دی‌اکسید تیتانیم است [۲۹] تصویر مقطع عرضی پوشش نشان می‌دهد که نانومیله‌ها

محل‌ها و بزرگنمایی‌های گوناگون نشان می‌دهند که پوشش تمام سطح FTO را به صورت یکنواخت پوشانده است و عاری از ترک است. جهت رشد نانومیله‌ها عمودی، قطر متوسط آنها ۹۰ نانومتر و چگالی تقریبی ۵×۱۰^۹ نانومیله بر سانتی‌متر مربع است. همان‌طور که در تصاویر دیده می‌شود، نانومیله‌ها چهارکنجی^{۱۳} شکل با سطح بالای مربع (شیوه مورد انتظار رشد برای ساختار بلوری تتراتagonal) هستند. سطح بالای نانومیله‌ها دارای لبه‌هایی پله‌ای است در حالی که سطوح جانبی آنها صاف هستند. در واقع، مکانیزم رشد به این صورت است که واحدهای رشد (مانند $\text{[Ti(OH)}_2\text{Cl}_6\text{(OH)}_2\text{]}^{32}$) به این



شکل ۴- طیف‌های پراش انرژی و ترکیب عنصری پوشش‌های متشكل از: (الف) نانومیله‌ها و (ب) نانومیله‌های نانوبرگ‌دار شده دی‌اکسید تیتانیم



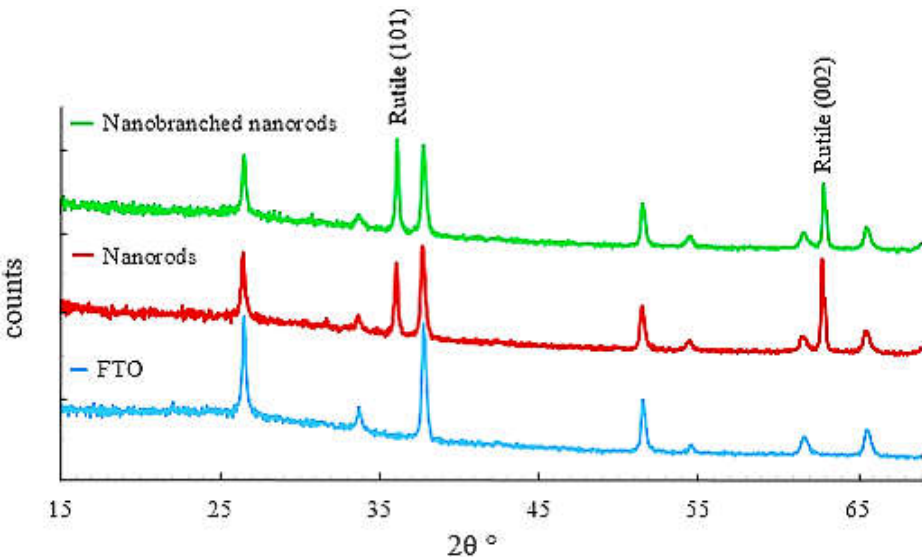
شکل ۵- طیف‌های رامان پوشش‌های متشكل از نانومیله‌ها و نانومیله‌های نانوبرگ‌دار شده دی‌اکسید تیتانیم

در مراحل سنتز از پیش‌ماده‌ایی نظیر TiCl_4 ، NaCl و NH_4TiF_6 وارد ساختار (دوب) شده‌اند. عنصر Au در مرحله پوشش‌دهی نمونه‌ها جهت آماده‌سازی برای تصویربرداری میکروسکوپی الکترونی روی پوشش‌ها نشسته است.

شکل (۵) طیف‌های رامان پوشش‌های متشكل از نانومیله‌ها و نانومیله‌های نانوبرگ‌دار شده دی‌اکسید تیتانیم را نشان می‌دهد. نانومیله‌های دی‌اکسید تیتانیم دو پیک را در ۴۴۲ و ۶۰۹ برشانی متر که پیک‌های مشخصه فاز روتایل هستند، نشان می‌دهند. در مورد نانومیله‌های نانوبرگ‌دار شده دی‌اکسید تیتانیم علاوه بر این دو پیک، یک پیک در ۱۶۱ برشانی متر که مشخصه فاز آناتاز است،

بعد از نانوبرگ‌دار شدن همچنان جهت‌گیری عمودی خود نسبت به زیرلایه را حفظ کرده‌اند و پوشش دارای ضخامتی حدود دو میکرومتر است.

شکل (۴) طیف‌های پراش انرژی و ترکیب عنصری پوشش‌های متشكل از نانومیله‌ها و نانومیله‌های نانوبرگ‌دار شده دی‌اکسید تیتانیم را نشان میدهد. همان‌طور که ملاحظه می‌شود، نسبت اتمی Ti به O در پوشش‌های دی‌اکسید تیتانیم تقریباً یک به دو است. مقدار مازاد O به وجود این عنصر در ترکیب زیرلایه FTO بر می‌گردد. حضور عناصر Sn و F در طیف نیز به دلیل وجود این عناصر در FTO است. عناصر Cl و F احتمالاً



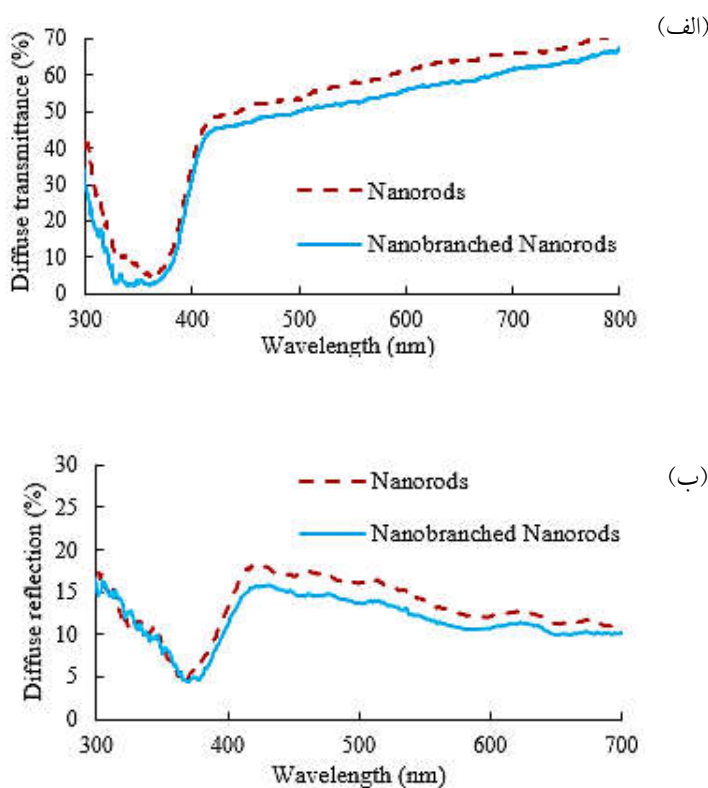
شکل ۶- طیف‌های پراش‌سنجی پرتوی ایکس زیرلایه FTO و پوشش‌های متشكل از نانومیله‌ها و نانومیله‌های نانوپرگ‌دار شده دی‌اکسید تیتانیم

[۳۶]، 4687° نانومتر $a=b$ و دی‌اکسید تیتانیم (روتایل دارای ساختار تتراگونال، [۳۷]، 4594° نانومتر $a=b$) روی صفحه (011) فقط دو درصد است. بنابراین، پیش رسوبدی لایه جوانه دی‌اکسید تیتانیم روی زیرلایه، جوانه‌زنی اپیکسی و جهت رشد نانومیله‌ها را بهبود داده است. دلیل ظاهر نشدن پیک‌های فاز آناتاز در پوشش متشكل از نانومیله‌های نانوپرگ‌دار شده دی‌اکسید تیتانیم مقدار ناچیز نانوپرگ‌ها در مقایسه با نانومیله‌ها است.

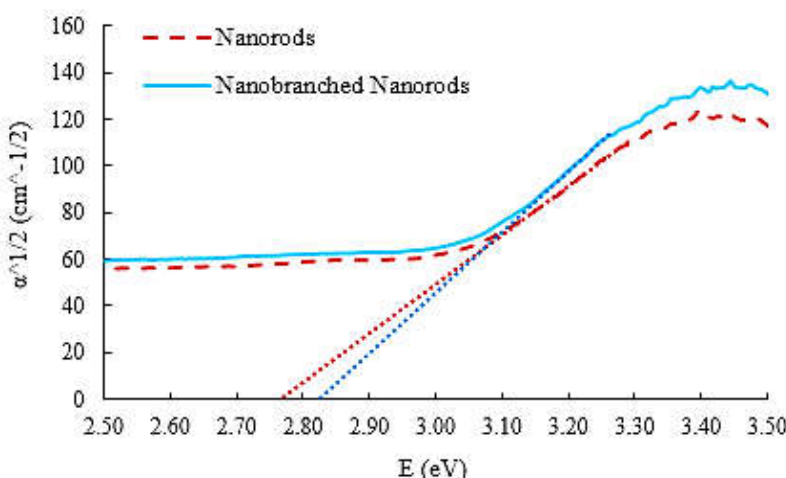
شکل (۷) طیف‌های بازتاب و عبور پخشی پوشش‌های متشكل از نانومیله‌ها و نانومیله‌های نانوپرگ‌دار شده دی‌اکسید تیتانیم را نشان می‌دهد. همان‌طور که در منحنی‌ها مشخص است، پوشش متشكل از نانومیله‌های نانوپرگ‌دار به علت مورفولوژی خاص خود، بازتاب و عبور پخشی کمتری در محدوده نور مرئی ($420-750$ نانومتر) از خود نشان می‌دهد. این نتیجه بیانگر آن است که پراکندگی^{۱۴} نور تابشی و بنابراین مسیر حرکت آن در پوشش بیشتر است. در نتیجه، میزان به داماندازی^{۱۵} نور و بنابراین بازدهی فتوالکتروشیمیایی این پوشش بیشتر خواهد بود [۳۸]. افت ناگهانی نمودارها در طول موج‌های کمتر از 420 نانومتر به دلیل جذب نور متناسب با فاصله نواری دی‌اکسید تیتانیم است.

مشاهده می‌شود. این نتایج، تشکیل نانوپرگ‌های آناتاز روی نانومیله‌های روتایل را نشان می‌دهند. با توجه به اینکه لبه باند هدایت آناتاز بالاتر از روتایل است، جفت الکترون حفره‌های تولید شده در اثر تابش نور در نانوپرگ‌ها می‌توانند از طریق انتقال الکترون به نانومیله‌های روتایل از هم جدا شوند [۳۳]. با جدایش حامل‌های بار و افزایش طول عمر آنها فعالیت فتوالکتروشیمیایی دی‌اکسید تیتانیم بهبود پیدا می‌کند [۳۳-۳۵].

شکل (۸) طیف‌های پراش‌سنجی پرتوی ایکس زیرلایه FTO و پوشش‌های متشكل از نانومیله‌ها و نانومیله‌های نانوپرگ‌دار شده دی‌اکسید تیتانیم را نشان می‌دهد. این آزمون نشان می‌دهد که لایه رسوبداده شده روی FTO، دی‌اکسید تیتانیم است. پیک‌های پراش ظاهر شده مربوط به فاز روتایل با ساختار بلوری تتراگونال هستند. در مقایسه با الگوی تفرق نمونه پودری این ماده، پیک پراش (002) به طور قابل ملاحظه‌ای ارتقا یافته است و تعدادی از پیک‌های پراش حذف شده‌اند که این نشان‌دهنده این است که نانومیله‌های ستتر شده نسبت به زیرلایه دارای جهت‌گیری بوده و در جهت [۰۰۱] که عمود بر سطح زیرلایه است، رشد کرده‌اند. عدم تطابق شبکه‌ای بین SnO_2 (دارای ساختار تتراگونال،



شکل ۷- طیف‌های: (الف) بازتاب و (ب) عبور پوشش‌های متشکل از نانومیله‌ها و نانومیله‌های نانوبرگ‌دار شده دی‌اکسید تیتانیم



شکل ۸- محاسبه انرژی فاصله نواری پوشش‌های متشکل از نانومیله‌ها و نانومیله‌های نانوبرگ‌دار شده دی‌اکسید تیتانیم

$$\alpha = -\frac{1}{d} \ln T \quad (1)$$

بالای آستانه جذب، وابستگی ضریب جذب به انرژی نور تابشی به صورت رابطه (۲) است:

$$\alpha \approx A^* (hv - E_g)^m \quad (2)$$

انرژی فاصله نواری پوشش‌ها توسط روش عبور نوری تعیین شد [۴۳-۴۹]:

ضریب جذب در نزدیکی لبه جذب توسط رابطه (۱) تعیین می‌شود:

۴- نتیجه‌گیری

نانومیله‌های نانوبرگ دار شده دی‌اکسید تیتانیم دوفازی دارای مورفولوژی و مشخصه‌های منحصر به فرد با موفقیت به روش هیدروترمال و به دنبال آن روش محلولی سنتز شدند. وجود اتصالات سطحی روتایل-آناتاز در محل تماس نانومیله‌ها و نانوبرگ‌ها، مساحت سطح ویژه بالا، دوپ شدن یون‌های کلر و فلورئور در ساختار دی‌اکسید تیتانیم عوامل کلیدی در جهت افزایش فعالیت فتوالکتروشیمیایی دی‌اکسید تیتانیم هستند. حساس‌سازی این نانوساختار با ذرات فلزی یا نقاط کوانتمویی می‌تواند فعالیت فتوالکتروشیمیایی آن را به میزان بیشتری ارتقا دهد. این پژوهش، یک ماده مناسب را برای جایگزینی با نانومیله‌های دی‌اکسید تیتانیم متداول مورد استفاده در سلول‌های خورشیدی، حسگرهای فتوکاتالیست‌ها معرفی می‌کند.

قدرتانی

از معاونت پژوهشی دانشگاه صنعتی شریف، ستاد ویژه توسعه فناوری نانو و صندوق حمایت از پژوهشگران کشور بابت حمایت‌هاییشان از فعالیت‌های پژوهشی قدردانی می‌شود.

برای تعیین انرژی فاصله نواری، $m=2 \alpha^{1/2}$ برای انتقال مجاز غیرمستقیم [۳۳] در محور قائم بر حسب انرژی فوتون ($h\nu$) در محور افقی رسم می‌شود. سپس، خطی مماس بر منحنی در نقطه عطف آن (لبه جذب) رسم می‌شود. محل تلاقی این مماس با محور افقی تقریبی از انرژی فاصله نواری است.

شکل (۸) محاسبه انرژی فاصله نواری پوشش‌های متشكل از نانومیله‌ها و نانومیله‌های نانوبرگ دار شده دی‌اکسید تیتانیم را نشان می‌دهد. همان‌طور در تصویر دیده می‌شود، مقدار انرژی فاصله نواری برای پوشش متشكل از نانومیله‌ها و نانومیله‌های نانوبرگ دار شده دی‌اکسید تیتانیم به ترتیب ۲/۷۸ و ۲/۸۲ الکترون‌ولت است. دوپ شدن یون‌های Cl^- و F^- در دی‌اکسید تیتانیم (با توجه به نتایج آنالیز عنصری) دلیل کمتر بودن فاصله نواری پوشش‌های سنتز شده نسبت به مقادیر متداول برای دی‌اکسید تیتانیم است. حضور جزئی فاز آناتاز در کنار فاز روتایل علت افزایش فاصله نواری پوشش متشكل از نانومیله‌های نانوبرگ دار شده نسبت به نانومیله‌های دی‌اکسید تیتانیم است.

واژه‌نامه

1. nanosheet
2. nanowall
3. nanorod
4. nanosphere
5. nanotube
6. nanoparticle
7. nanotree
8. fluorine doped tin oxide
9. soak
10. scanning probe microscopy
11. tapping mode
12. field emission scanning electron microscopy
13. atomic force microscopy
14. tetragonal
15. scattering
16. harvesting

مراجع

1. Fujishima, A., and Honda, K., “Electrochemical Photolysis of Water at a Semiconductor Electrode”, *Nature*, Vol. 238, pp. 37-38, 1972.
2. O'Regan, B., and Grätzel, M., “A Low-Cost, High-Efficiency Solar Cell Based on Dye-Sensitized Colloidal TiO_2 Films”, *Nature*, Vol. 353, pp. 737-740, 1991.
3. Liu, M., Qiu, X., Miyauchi, M. and Hashimoto, K., “Cu (II) Oxide Amorphous Nanoclusters Grafted Ti^{3+} Self-Doped TiO_2 : An Efficient Visible Light Photocatalyst”, *Chemistry of Materials*, Vol. 23, pp. 5282-5286, 2011.
4. Linsebigler, A. L., Lu, G., and Yates, J. T., “Photocatalysis on TiO_2 Surfaces: Principles, Mechanisms, and Selected Results”, *Chemical Reviews*, Vol. 95, pp. 735-758, 1995.
5. Wu, N. L., Wang, S. Y., and Rusakova, I., “Inhibition of Crystallite Growth in the Sol-Gel

- Synthesis of Nanocrystalline Metal Oxides”, *Science*, Vol. 285, pp. 1375-1377, 1999.
6. Nazeeruddin, M. K., De Angelis, F., Fantacci, S., Selloni, A., Viscardi, G., Liska, P., Ito, S., Takeru, B., and Gratzel, M. G., “Combined Experimental and DFT-TDDFT Computational Study of Photoelectrochemical Cell Ruthenium Sensitizers”, *Journal of the American Chemical Society*, Vol. 127, pp. 16835-16847, 2005.
 7. Wang, P., Zakeeruddin, S. M., Moser, J. E., Humphry-Baker, R., Comte, P., Aranyos, V., Hagfeldt, A., Nazeeruddin, M. K., and Gratzel, M., “Stable New Sensitizer with Improved Light Harvesting for Nanocrystalline Dye-Sensitized Solar Cells”, *Advanced Materials*, Vol. 16, pp. 1806-1811, 2004.
 8. Tokudome, H., Yamada, Y., Sonezaki, S., Ishikawa, H., Bekki, M., Kanehira, K., and Miyauchi, M., “Photoelectrochemical Deoxyribonucleic Acid Sensing on a Nanostructured TiO₂ Electrode”, *Applied Physics Letters*, Vol. 87, pp. 213901-213903, 2005.
 9. Kumazawa, N., Islam, M. R., and Takeuchi, M., “Photoresponse of a Titanium Dioxide Chemical Sensor”, *Journal of Electroanalytical Chemistry*, Vol. 472, pp. 137-141, 1999.
 10. Ferroni, M., Carotta, M. C., Guidi, V., Martinelli, G., Ronconi, F., Sacerdoti, M., and Traversa, E., “Preparation and Characterization of Nanosized Titania Sensing Film”, *Sensors and Actuators B: Chemical*, Vol. 77, pp. 163-166, 2001.
 11. Zhang, Z., Wang, C. C., Zakaria, R., and Ying, J. Y., “Role of Particle Size in Nanocrystalline TiO₂-Based Photocatalysts”, *The Journal of Physical Chemistry B*, Vol. 102, pp. 10871-10878, 1998.
 12. Wang, R., Hashimoto, K., Fujishima, A., Chikuni, M., Kojima, E., Kitamura, A., Shimohigoshi, M., and Watanabe, T., “Light-Induced Amphiphilic Surfaces”, *Nature*, Vol. 388, pp. 431-432, 1997.
 13. Choi, W., Termin, A., and Hoffmann, M. R., “The Role of Metal Ion Dopants in Quantum-Sized TiO₂: Correlation Between Photoreactivity and Charge Carrier Recombination Dynamics”, *The Journal of Physical Chemistry*, Vol. 98, pp. 13669-13679, 1994.
 14. Carlson, T. and Griffin, G. L., “Photooxidation of Methanol Using V₂O₅/TiO₂ and MoO₃/TiO₂ Surface Oxide Monolayer Catalysts”, *Journal of Physical Chemistry*, Vol. 90, pp. 5896-5900, 1986.
 15. Wagemaker, M., Kentgens, A. P. M., and Mulder, F. M., “Equilibrium Lithium Transport Between Nanocrystalline Phases in Intercalated TiO₂ Anatase”, *Nature*, Vol. 418, pp. 397-399, 2002.
 16. Aricò, A. S., Bruce, P., Scrosati, B., Tarascon, J. M., and Van Schalkwijk, W., “Nanostructured Materials for Advanced Energy Conversion and Storage Devices”, *Nature Materials*, Vol. 4, pp. 366-377, 2005.
 17. Guo, Y. G., Hu, Y. S., and Maier, J., “Synthesis of Hierarchically Mesoporous Anatase Spheres and Their Application in Lithium Batteries”, *Chemical Communications*, Vol. 26, pp. 2783-2785, 2006.
 18. Mishra, P. R., and Srivastava, O. N., “On the Synthesis, Characterization and Photocatalytic Applications of Nanostructured TiO₂”, *Bulletin of Materials Science*, Vol. 31, pp. 545-550, 2008.
 19. Roy, P., Berger, S., and Schmuki, P., “TiO₂ Nanotubes: Synthesis and Applications”, *Angewandte Chemie International Edition*, Vol. 50, pp. 2904-2939, 2011.
 20. Bernardini, C., Cappelletti, G., Dozzi, M. V., and Selli, E., “Photocatalytic Degradation of Organic Molecules in Water: Photoactivity and Reaction Paths in Relation to TiO₂ Particles Features”, *Journal of Photochemistry and Photobiology A: Chemistry*, Vol. 211, pp. 185-192, 2010.
 21. Puddu, V., Choi, H., Dionysiou, D. D., and Puma, G. L., “TiO₂ Photocatalyst for Indoor Air Remediation: Influence of Crystallinity, Crystal Phase, and UV Radiation Intensity on Trichloroethylene Degradation”, *Applied Catalysis B: Environmental*, Vol. 94, pp. 211-218, 2010.
 22. Sasaki, T., Ebina, Y., Tanaka, T., Harada, M., Watanabe, M., and Decher, G., “Layer-by-Layer Assembly of Titania Nanosheet/Polycation Composite Films”, *Chemistry of Materials*, Vol. 13, pp. 4661-4667, 2001.
 23. Wu, J. J., and Yu, C. C., “Aligned TiO₂ Nanorods and Nanowalls”, *The Journal of Physical Chemistry B*, Vol. 108, pp. 3377-3379, 2004.
 24. Benjwal, P., De, B., and Kar, K. K., “1-D and 2-D Morphology of Metal Cation Co-Doped (Zn, Mn) TiO₂ and Investigation of Their Photocatalytic Activity”, *Applied Surface Science*, Vol. 427, pp. 262-272, 2018.
 25. Perathoner, S., Passalacqua, R., Centi, G., Su, D. S., and Weinberg, G., “Photoactive Titania Nanostructured Thin Films: Synthesis and Characteristics of Ordered Helical Nanocoil Array”, *Catalysis Today*, Vol. 122, pp. 3-13, 2007.
 26. Zaki, A. H., El-Shafey, A., Moatmed, S. M., Abdelhay, R. A., Rashdan, E. F., Saleh, R. M., Abd-El Fatah, M., Tawfik, M. M., Esmat, M., and El-dek, S. I., “Morphology Transformation from Titanate Nanotubes to TiO₂ Microspheres”, *Materials Science in Semiconductor Processing*, Vol. 75, pp. 10-17, 2018.
 27. Ilie, A. G., Scarisoreanu, M., Dutu, E., Dumitrache, F., Banici, A. M., Fleaca, C. T., Vasile, E., and Mihailescu, I., “Study of Phase Development and Thermal Stability in as Synthesized TiO₂ Nanoparticles by Laser Pyrolysis: Ethylene Uptake and Oxygen Enrichment”, *Applied Surface Science*, Vol. 427, pp. 798-806, 2018.
 28. Fang, L., Wang, X., Wang, Z., Gong, Z., Jin, L., Li,

- J., Zhang, M., He, G., Jiang, X., and Sun, Z., "Heterostructured TiO₂ Nanotree Arrays with Silver Quantum Dots Loading for Enhanced Photoelectrochemical Properties", *Journal of Alloys and Compounds*, Vol. 730, pp. 110-118, 2018.
29. Wang, J., Zhang, T., Wang, D., Pan, R., Wang, Q., and Xia, H., "Improved Morphology and Photovoltaic Performance in TiO₂ Nanorod Arrays Based Dye Sensitized Solar Cells by Using a Seed Layer", *Journal of Alloys and Compounds*, Vol. 551, pp. 82-87, 2013.
30. Liu, B., and Aydil, E. S., "Growth of Oriented Single-Crystalline Rutile TiO₂ Nanorods on Transparent Conducting Substrates for Dye-Sensitized Solar Cells", *Journal of the American Chemical Society*, Vol. 131, pp. 3985-3990, 2009.
31. Masuda, Y., Ohji, T., and Kato, K., "Multineedle TiO₂ Nanostructures, Self-Assembled Surface Coatings, and Their Novel Properties", *Crystal Growth & Design*, Vol. 10, pp. 913-922, 2009.
32. Pottier, A., Chanéac, C., Tronc, E., Mazerolles, L., and Jolivet, J. P., "Synthesis of Brookite TiO₂ Nanoparticles by Thermolysis of TiCl₄ in Strongly Acidic Aqueous Media", *Journal of Materials Chemistry*, Vol. 11, pp. 1116-1121, 2001.
33. Kawahara, T., Konishi, Y., Tada, H., Tohge, N., Nishii, J., and Ito, S., "A Patterned TiO₂ (Anatase)/TiO₂ (Rutile) Bilayer-Type Photocatalyst: Effect of the Anatase/Rutile Junction on the Photocatalytic Activity", *Angewandte Chemie*, Vol. 114, pp. 2935-2937, 2002.
34. Tang, H., Prasad, K., Sanjines, R., Schmid, P. E., and Levy, F., "Electrical and Optical Properties of TiO₂ Anatase Thin Films", *Journal of Applied Physics*, Vol. 75, pp. 2042-2047, 1994.
35. Tian, J., Gao, R., Zhang, Q., Zhang, S., Li, Y., Lan, J., Qu, X., and Cao, G., "Enhanced Performance of CdS/CdSe Quantum Dot Cossensitized Solar Cells via Homogeneous Distribution of Quantum Dots in TiO₂ Film", *The Journal of Physical Chemistry C*, Vol. 116, pp. 18655-18662, 2012.
36. Abd-Lefdil, M., Diaz, R., Bihri, H., Aouaj, M. A., and Rueda, F., "Preparation and Characterization of Sprayed FTO Thin Films", *The European Physical Journal-Applied Physics*, Vol. 38, pp. 217-219, 2007.
37. Howard, C. J., Sabine, T. M., and Dickson, F. I. O. N. A., "Structural and Thermal Parameters for Rutile and Anatase", *Acta Crystallographica Section B: Structural Science*, Vol. 47, pp. 462-468, 1991.
38. Cho, I. S., Chen, Z., Forman, A. J., Kim, D. R., Rao, P. M., Jaramillo, T. F., and Zheng, X., "Branched TiO₂ Nanorods for Photoelectrochemical Hydrogen Production", *Nano Letters*, Vol. 11, pp. 4978-4984, 2011.
39. Meng, L. J., and Dos Santos, M. P., "Investigations of Titanium Oxide Films Deposited by D.C. Reactive Magnetron Sputtering in Different Sputtering Pressures", *Thin Solid Films*, Vol. 226, pp. 22-29, 1993.
40. Aarik, J., Aidla, A., Kiisler, A. A., Uustare, T., and Sammelselg, V., "Effect of Crystal Structure on Optical Properties of TiO₂ Films Grown by Atomic Layer Deposition", *Thin Solid Films*, Vol. 305, pp. 270-273, 1997.
41. Mardare, D., Tasca, M., Delibas, M., and Rusu, G. I., "On the Structural Properties and Optical Transmittance of TiO₂ R.F. Sputtered Thin Films", *Applied Surface Science*, Vol. 156, pp. 200-206, 2000.
42. Ting, C. C., Chen, S. Y., and Liu, D. M., "Structural Evolution and Optical Properties of TiO₂ Thin Films Prepared by Thermal Oxidation of Sputtered Ti Films", *Journal of Applied Physics*, Vol. 88, pp. 4628-4633, 2000.
43. Won, D. J., Wang, C. H., Jang, H. K., and Choi, D. J., "Effects of Thermally Induced Anatase-to-Rutile Phase Transition in MOCVD-Grown TiO₂ Films on Structural and Optical Properties", *Applied Physics A: Materials Science & Processing*, Vol. 73, pp. 595-600, 2001.